

Remerciements

Nous remercions ...

Table des matières

Introduction	2
1 Rappels et nomination des technologies	3
1.1 Signal radio	3
1.2 Traitement du signal	4
1.3 LoRa	8
1.3.1 couche physique LoRa	9
1.3.2 LoRaWAN	11
2 Travaux similaires et autres contributions	17
2.1 identification de device dans l'iot	17
2.1.1 historique et évolution des préoccupations de sécurité dans l'iot	17
2.1.2 approches d'identification dans l'iot	19
2.2 analyse de signaux lora	19
2.3 identification de device lora	19
3 Expérimentations	20
3.1 Matériel	20
3.1.1 radio logicielle	20
3.1.2 Module d'émission Lora	21
3.1.3 logiciel	21
3.2 Librairie python	23
3.3 Génération et réception d'un signal LoRa	23
3.3.1 analyse du signal	23
3.3.2 automatisation du signal	24
3.4 Méthode "Constellation traces"	24
4 Résultats	25
4.1 Méthode des constellations Traces	25
4.1.1 paramétrage	25

<i>TABLE DES MATIÈRES</i>	1
4.1.2 training phase	25
4.1.3 testing phase	25
4.1.4 résultats	25
Annexes	26
A Première annexe	26
B Deuxième annexe	27

Introduction

L'avènement de L'*Internet of Things* a lancé une nouvelle ère d'appareils connectés, ouvrant de nouvelles possibilités de partage de l'information, d'automatisation et de protection. Bien que le concept lui-même soit prometteur, la technologie qui l'accompagne est essentielle. Les premières technologies utilisées pour l'IoT étaient les technologies sans fil déjà présentes comme le Wifi ou le Bluetooth. Performantes dans certains cas, elles étaient néanmoins limitées : une consommation en énergie élevée, une portée restreinte et parfois même un coût d'infrastructure trop important. Dans ces circonstances est apparu *LoRa*, une technologie développée en particulier pour l'IoT. Sa capacité à gérer les communications longue portée même dans des environnements peu adaptés est une révolution pour le domaine.

L'expansion de L'IoT soulève une nouvelle problématique de sécurité. Entre autres, l'identification des nœuds au sein des réseaux est essentielle. Il a été découvert que des nœuds fabriqués avec les mêmes microprocesseurs et modèles d'émetteurs-récepteurs radio peuvent présenter de subtiles particularités dans les caractéristiques de leurs signaux. Cette variabilité intrinsèque de la transmission des signaux radio peuvent être exploitées pour distinguer les nœuds d'un réseau. En écoutant leurs signaux radio émis et en analysant leurs signatures distinctes, il devient possible de les identifier.

Ce travail est structuré en quatre parties. Le premier chapitre sert d'aperçu global du signal radio afin d'y développer et rappeler les concepts de télécommunication de base. Ce chapitre présente également les technologies LoRa et LoRaWAN à travers leurs caractéristiques et leur pertinence dans l'IoT. Le second chapitre rassemble les travaux qui ont déjà été effectués dans ce domaine. Le troisième chapitre est dédié à l'étude expérimentale du sujet. Les aspects pratiques y seront appliqués, notamment l'utilisation de radio logicielle afin de capturer des signaux radio. Ces signaux seront ensuite analysés grâce à diverses méthodes détaillées dans ce chapitre. La dernière partie du travail présentera une présentation des résultats obtenus en suivant l'analyse effectuée au chapitre précédent. Enfin le travail sera achevé en concluant sur de potentielles implications plus larges à ce sujet ainsi que des recherches plus approfondies.

Chapitre 1

Rappels et nomination des technologies

1.1 Signal radio

Un signal est une variation dans l'espace ou dans le temps d'une quantité physique contenant de l'information. Un signal peut être continu ou discret, on le nomme alors respectivement analogique ou numérique. Le type de signal dépend notamment de l'information qu'il contient. Un signal analogique peut contenir par exemple du son, là où un signal numérique contient généralement un nombre fini de valeur (par exemple des 0 et 1). Les deux catégories ne sont pas incompatibles car il est souvent nécessaire en télécommunication de pouvoir passer de l'un à l'autre.

L'utilisation de signaux radio en télécommunication confère de nombreux avantages, comme la portée, la vitesse de transmission, la résistance aux interférences ou encore le coût de propagation. Tous ces avantages sont possibles car un signal peut être modulé. La modulation est une technique permettant de modifier les propriétés du signal lui permettant de transporter de l'information.

En télécommunication, les signaux sont associés aux ondes radios, ainsi appelé *radio signal* ou signal radio. Voici les principaux attributs d'un signal radio :

- la fréquence, mesurée en Hertz (Hz). Elle détermine le nombre de cycle qu'accomplie le signal par seconde.
- La largeur de spectre, elle dépend de la fréquence car c'est l'écart entre la plus haute et la plus basse fréquence du signal. Une plus grande largeur permet de transmettre plus d'informations.
- L'amplitude. Selon le type de signal l'attribut possède différentes fonctions. Dans le cas d'un signal analogique l'amplitude est l'une des caractéristiques principales d'identification du signal mesurant l'ampleur du signal. Dans un signal numérique l'amplitude sert plutôt de marge entre les différents états du signal.
- la puissance, mesurée en Décibel (dB). C'est la force du signal, un attribut important pour la réception du signal notamment.
- le *signal to noise ratio* ou *SNR*. Cet attribut mesure la qualité du signal. une valeur élevée indique que le pourcentage de bruit est faible.
- le *bit rate*, ou le taux de transmission mesure la quantité de donnée transmise en bit par seconde. Cet attribut est exclusif aux signaux numériques. On parle de *Baud rate* pour les signaux analogiques. Ce n'est pas exactement l'équivalent du bit rate car c'est le nombre de symboles modifiés par seconde, et un symbole peut contenir plusieurs bit pour un signal numérique.

1.2 Traitement du signal

Modulation

La réception d'un signal nécessite des antennes dont les dimensions dépendent de la longueur d'onde du signal. Un signal à haute fréquence a l'avantage d'être facilement transmissible sur une grande portée. Cependant les signaux originaux (appelés *baseband signals*) sont en basse fréquence. La modulation d'un signal permet de transformer le signal en haute fréquence, devenant ainsi le signal modulé.

Parmi ces différents attributs, certains sont utilisés pour effectuer une modulation. Les deux modulations les plus utilisées sont basées sur les attributs de la fréquence et de l'amplitude. La modulation en fréquence (ou *FM* pour *frequency modulation*) consiste à encoder l'information en faisant varier la fréquence en maintenant l'amplitude constante. La modulation en amplitude (*AM*) est le procédé inverse, c'est à dire encoder l'information en faisant varier l'amplitude tout en gar-

dant la fréquence constante.

La modulation en amplitude est plus ancienne et est encore utilisée dans beaucoup de systèmes. Cette technique possède moins de contrainte et est notamment plus simple à implémenter. Elle requiert le signal modulant et un signal haute fréquence appelé *carrier signal*.

Soient un signal modulant $u(t)$ et un signal porteur (ou *carrier signal*) $v(t)$, la modulation en amplitude s'effectue en multipliant les deux signaux pour obtenir le signal modulé

$$s(t) = u(t) \cdot v(t)$$

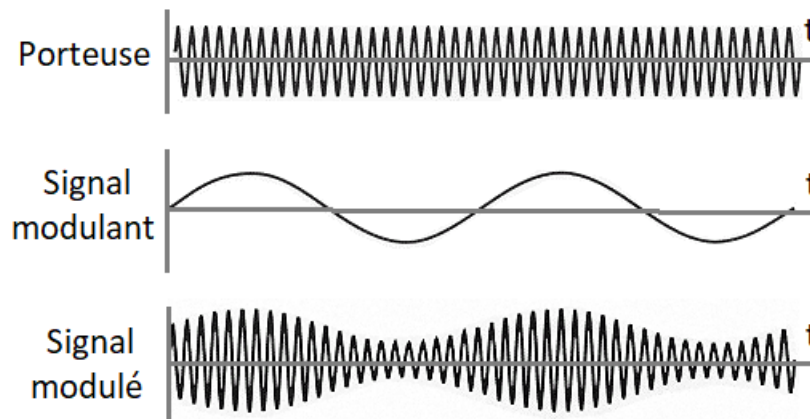


FIGURE 1.1 – Exemple de modulation en amplitude

La modulation en fréquence permet d'obtenir des transmissions de meilleures qualités plus résistantes à leur environnement tout en gardant une puissance d'émission constante.

Soient un signal modulant $u(t)$ et un signal porteur sinusoïdal

$$v_p(t) = A_p \cos(2\pi f_p t) \text{ où}$$

f_p est la fréquence de la porteuse,

A_p est l'amplitude de la porteuse,

alors le signal modulé $s(t) = A_p \cos(2\pi \int_0^t f(\tau) d\tau)$ où f est la fréquence instantanée. Elle s'exprime en fonction de la dérivation de fréquence f_Δ , c'est à dire la dérivation maximale par rapport à la fréquence de la porteuse.

$$f_p. f(t) = f_p + f_{\Delta}u(t)$$

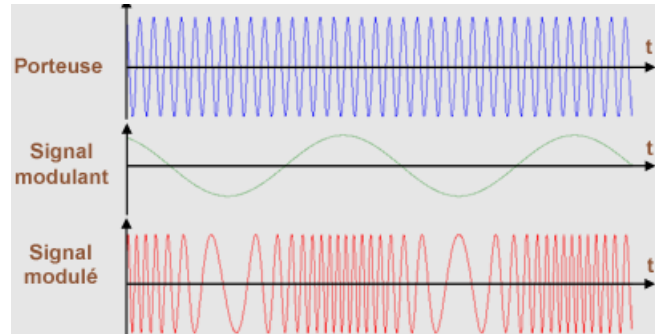


FIGURE 1.2 – Exemple de modulation en fréquence

Gestion du bruit

L'un des attributs cités concerne le bruit. Un signal est toujours affecté de petites fluctuations plus ou moins importantes, et dont les origines peuvent être diverses. Ces perturbations, appelée bruit ou *noise* en télécommunication se définissent par l'altération non souhaitée de l'intégrité d'un signal. Le bruit peut prendre différentes formes, des perturbations essentiellement impulsionnelles engendrées par des commutations de courants ou alors du bruit de fond généré dans les câbles et les composants électroniques en raison des mécanismes statistiques de la conduction électrique. Il est possible de réduire voir élimier l'influence des perturbations impulsionnelles. En revanche, le bruit de fond est lui irréductible. Tout signal sans bruit n'existe pas, même à l'émission. Il est cependant possible que le bruit devienne invisible si son niveau est très faible. L'attribut SNR est donc un critère de la qualité du signal.

transformée de Fourier

Pour effectuer une analyse de signal, sa représentation est capitale. Les Figure 1 et 2 représentent des signaux en fonction du temps écoulé. Il est possible de représenter des signaux selon une autre composante, la fréquence par exemple.

La transformée de Fourier est un outil fondamental utilisé pour analyser et décomposer des signaux complexes en composantes fréquentielles. En transformant un signal dans le domaine temporel en sa représentation dans le domaine fréquentiel, la transformée de Fourier révèle les différentes composantes fréquentielles présentes dans le signal. En fonction du type de signal, la transformée de Fourier est adaptée.

Pour les signaux continus, la *CFT* (Transformée de Fourier continue) convertit une fonction du temps en fonction de la fréquence en intégrant le signal par rapport aux sinusoides de toutes les fréquences possibles. Cette transformation fournit les informations d'amplitude et de phase pour chaque composante de fréquence présente dans le signal.

Pour les signaux discrets et échantillonnés, la *DFT* (Transformée de Fourier discrète) calcule un ensemble fini de composantes de fréquence. Il est calculé à l'aide d'un nombre fini d'échantillons, ce qui donne des composantes de fréquence discrètes. Il existe une méthode simplifiée pour les signaux discrets appelé *FFT* (Fast Fourier Transform). Il s'agit d'un moyen plus rapide de calculer la transformée de Fourier, en particulier pour les signaux numériques comportant un grand nombre de points de données. L'avantage principal de cet algorithme permet de réduire le temps de calcul en divisant la DFT en sous problèmes. La FFT est une méthode très utilisée pour l'analyse de signaux.

1.3 LoRa

LoRa (Long Range) est une technologie de communication sans fil qui permet de transmettre des données sur de longues distances avec une faible consommation d'énergie. Elle a été développée par la société française Cycleo et est maintenant gérée par la fondation LoRa Alliance, qui regroupe plusieurs entreprises et organisations du monde entier.

LoRa est principalement utilisée dans l'*IoT*. Elle se distingue par sa portée étendue, qui peut atteindre plusieurs kilomètres en milieu urbain et plusieurs dizaines de kilomètres en milieu rural, ainsi que par sa faible consommation d'énergie, qui permet de prolonger la durée de vie des appareils connectés. Une longue portée avec une puissance limitée induit une plus faible bande passante que les autres technologies sans fil (le Wifi, la 4G, Bluetooth etc).

LoRa utilise une bande de fréquences qui varie selon les régions du monde où LoRa est déployée :

- en Europe, la bande de fréquences autorisée est comprise entre 863 et 870 MHz,
- aux États-Unis, elle se situe entre 902 et 928 MHz,
- en Chine, la fréquence autorisée varie entre 779 et 787 MHz,
- les régions restantes ont elles aussi une fourchette unique.

La technologie LoRa utilise la modulation en fréquence chirp spread spectrum (*CSS modulation*). La modulation CSS utilise un signal chirp, c'est à dire un signal modulé en fréquence linéaire. Ce signal a une amplitude constante mais balaie tout le spectre de la bande passante de manière linéaire dans une période de temps définie. Cette technique de modulation sera détaillée plus loin dans le chapitre.

La technologie LoRa utilise également une technique de multiplexage en temps partagé (*TDMA*) pour permettre à plusieurs appareils de partager la même bande de fréquences de manière à maximiser l'utilisation de la capacité de transmission. Elle utilise également une technique de diffusion de données (*multicast*) pour envoyer les mêmes données à plusieurs appareils simultanément, ce qui permet de réaliser des économies de bande passante et d'énergie.

En plus de sa portée étendue et de sa faible consommation d'énergie, LoRa se distingue par sa sécurité de transmission, qui est assurée grâce à l'utilisation de codes de sécurité uniques et à la possibilité de chiffrer les données transmises. Elle est également compatible avec de nombreux protocoles de communication couramment utilisés dans l'*IoT*, tels que TCP/IP, HTTP et MQTT, ce qui facilite son intégration dans les systèmes existants.

Toutes ces particularités font de LoRa une technologie complémentaire à

celles déjà existante plutôt que rivale. LoRa se compose de deux éléments principaux : la couche physique de la technologie et LoRaWAN, la couche MAC (*media access control*), une sous couche de la couche liaison de données dans le modèle *OSI*. la couche physique de LoRa gère la fréquence radio ainsi que la modulation. LoRaWAN gère les aspects réseaux comme la sécurité, la propagation, l'adressage et la sécurité).

1.3.1 couche physique LoRa

Découpage de la couche physique

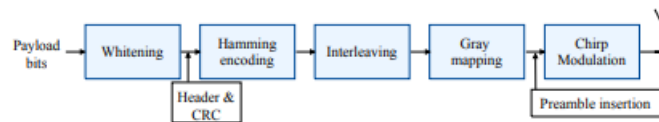


FIGURE 1.3 – Etapes de la transformation des données dans un émetteur LoRa

Les étapes de la conception de l'envoi de données dans la couche physique de LoRa sont les suivantes :

- Le codage de canal est une technique utilisée dans les systèmes de communication sans fil pour améliorer la robustesse et la fiabilité de la transmission des données. Dans le cas de LoRa, le codage de canal utilise la méthode *FEC* (*Forward error correction*) pour corriger les erreurs causées par du bruit. La méthode FEC ajoute de l'information redondante sur les données.
- Le mélange de canal (ou *channel interleaving*) suit la codage de canal. Cette technique consiste à réarranger les bits de data avant de les transmettre, en les intercalant entre eux de manière à les disperser sur le spectre des fréquences de la transmission. Cela permet de réduire l'impact des erreurs consécutives (*burst error*).
- Le blanchiment de canal (ou *channel whitening*) est la dernière étape avant la modulation du signal. Cette technique consiste à utiliser une transformation aléatoire ou pseudo-aléatoire des données avant de les transmettre, de manière à répartir le spectre des fréquences de la transmission sur une large gamme de fréquences. Cela permet également la récupération d'horloge pour le récepteur.
- La modulation CSS est l'étape principale de LoRa. En effet, les étapes précédentes sont communes à de nombreuses technologies, mais la particularité de LoRa provient de la modulation. Cette étape est détaillée dans la section suivante du chapitre.

Chacune des étapes décrites doit être inversement réalisée pour le récepteur. Ainsi pour la récupération de donnée à l'arrivée, l'appareil récepteur gère la démodulation, le déblanchiment, le démellement et de décodage.

Cette analyse a été faite en *reverse engineering* (citer article). Le reverse engineering consiste à analyser un produit ou un système afin de comprendre comment il fonctionne ou d'identifier ses principes de conception. Dans le contexte de LoRa, le reverse engineering examine la technologie derrière LoRa afin de comprendre ses principes de base et sa conception.

Modulation CSS

Contrairement aux modulation classique en amplitude ou en fréquence, la modulation CSS étale le signal sur une large bande de fréquence. La modulation en fréquence est linéaire et utilise des chirps. un chirp est un signal dont la fréquence change en continue tout en conservant une amplitude constante. Il existe deux types de chirps : les *upchirp* et *downchirp*. Dans un *upchirp* la fréquence augmente avec le temps tandis que dans un *downchirp* la fréquence diminue.

le signal est donc séparé sur une large bande de fréquence, permettant par exemple plusieurs transmission sans causer d'interférence. La modulation CSS est l'une des principale contribution au fait que LoRa possède une faible consommation et une longue portée. Cette technioque est très bien intégrée aux appareils a faible puissance utilisé par les technologies LoRa.

Spreading factor

LoRa permet d'envoyer des paquets sur un longue distance à faible puissance. Selon l'environnement dans lequel les appareils LoRa sont présents, il peut être utile de pouvoir ajuster certaines capacités.

L'étalement, ou *spreading factor* permet de déterminer le taux de variation de fréquence pour un signal. Modifier le spreading factor ajuste différentes propriétés de la communications. Par exemple, si on augmente le spreading factor, les quatre conséquences principales sont :

- l'augmentation de la portée. Comme la largeur de bande est plus large, la communication peut atteindre une portée supérieure.
- Augmentation de la résistance aux interférences. Comme le signal est étalé sur une bande plus largeur, il y a moins de risque de subit des interférences.
- Plus petit débit de données. Comme la bande est large, dans un temps défini moins de données sont transmises.

- Plus faible consommation. Les données transmises à un taux plus faible consomment moins d'énergie, ce qui prolonge la durée de vie des appareils dont l'économie d'énergie est une priorité.
- Diminuer le spreading factor engendre l'effet inverse.

Structure d'un paquet LoRa

un paquet LoRa est structuré en 5 parties différentes :

- Le préambule : la première partie du paquet, composée d'un nombre variable d'upchirps. La valeur par défaut est fixée à 8 upchirps.
- L'identificateur réseau : après le préambule, le paquet contient deux symboles modulés pour l'identification réseau.
- Des symboles de synchronisation de fréquence. Après l'identificateur réseau, il y a des downchirps pour faire la distinction entre les offsets d'échantillonnage de temps ou de fréquence.
- La tête (*header*) du paquet. Elle contient les informations relatives à la taille du paquet, le code rate, la présence ou non d'un CRC (*cyclique redundancy check*) et une checksum.
- Le payload. La dernière partie du paquet contient le payload d'une taille maximale de 255 bits et l'éventuelle CRC de 16 bits.

1.3.2 LoRaWAN

LoRaWAN est un protocole de type *low power, wide area network* (LP-WAN) désigné pour la communication longue portée. Ce protocole opère avec la technologie LoRa et lui fournit une infrastructure capable de maintenir une communication à longue portée et à faible coût dans l'*IoT*.

aspects généraux de la technologie

LoRaWAN bénéficie donc d'une faible puissance de consommation et d'une portée accrue. Elle est également efficace dans différents environnements. Le signal est capable de pénétrer divers terrains et structures. Le déploiement d'une infrastructure LoRa ne nécessite pas de licence, et son réseau peut être public ou privé.

Le cœur de LoRaWAN réside sur la gestion de l'énergie, permettant aux appareils de fonctionner avec une consommation d'énergie minimale, prolongeant leur durée de vie tout en garantissant une fonctionnalité à long terme. À cette caractéristique de faible consommation d'énergie s'ajoutent ses capacités en termes de portée, capable de pénétrer divers environnements. Cela rend la technologie efficace aussi bien en milieu rural qu'urbain. LoRaWAN opère sur une bande de fréquence qui ne nécessite pas de licence d'émission, par exemple sur la bande ISM

pour *Industrial, Scientific, and Medical*. Les bandes ISM, (868 MHz en Europe ou 915 MHz aux USA) sont disponibles pour l'utilisation de différentes technologies, incluant LoRaWAN.

LoRaWAN possède des capacités de géolocalisation, permettant au réseau de détecter et de localiser précisément les appareils au sein de son domaine. LoRaWAN utilise différentes méthodes pour localiser ses appareils comme **Received signal strength indication** ou RSSI, *Time difference on Arrival* ou TDOA, une triangulation ou alors une combinaison de plusieurs des méthodes.

LoRaWAN utilise des protocoles de sécurité end-to-end, aussi bien dans un réseau public intégré que dans un réseau privé. L'architecture LoRaWAN (décrite en détails dans la section 1.3.2.2) contient plusieurs couches de sécurité. Au niveau des *end devices*, une routine d'identification est imposée avant l'accès au réseau. Seuls les appareils de confiance sont donc autorisés à communiquer. Ensuite, une fois la communication commencée, les données sont chiffrées avant d'être transmises dans le réseau. Le framework sécuritaire de LoRa ne se limite pas à l'authentification et au chiffrement. LoRaWAN gère également les mises à jour en continu par les airs, ainsi qu'une supervision continue sur d'éventuelles intrusions.

Avec toutes ces caractéristiques, LoRaWAN s'est développé dans de nombreux domaines aussi bien environnementaux qu'industriels. Les principales utilisations de LoRaWAN actuelles sont les suivantes :

- la surveillance environnementale en général. LoRaWAN peut être déployé pour surveiller des niveaux de températures, d'humidité, de bruits ou encore d'autres paramètres dans n'importe quel milieu. Une compagnie Hollandaise, Sensoterra, utilise notamment LoRaWAN pour surveiller la qualité des sols.
- Les *smart cities*. LoRaWAN est actif sur différents aspects comme la gestion intelligente de l'éclairage, la gestion des déchets, la surveillance, etc.
- l'embarqué industriel. La maintenance et la surveillance de matériel et de l'équipement peut être gérée par LoRaWAN ? TataSteel, une compagnie indienne, utilise LoRaWAN pour ces équipements industriels.
- la prévention de catastrophe naturelle. Que ce soit en prévision, pendant ou après d'éventuelles catastrophes naturelles, la longue portée et la surveillance en temps réel sont des atouts cruciaux pour ce genre d'évènement.

Cependant, toutes ses caractéristiques entraînent un certain nombre de limitations. La restriction de la fréquence en fonction de la région peut rendre le déploiement d'une même infrastructure à différents endroits dans le monde plus difficile. Cela peut aussi entraîner des problèmes de compatibilité entre régions, notamment pour des chaînes logistiques ou d'approvisionnement qui traversent plusieurs régions.

Une faible consommation de puissance avec une grande portée a un impact sur la taille et la vitesse de l'information. La taille du payload d'un message est limitée entre 51 et 241 octets. La vitesse de transmission est également peu élevée, atteignant un maximum de 5.5kbps sur une largeur de bande de 125hz.

la communication au sein d'un réseau LoraWan se fait en grande partie de manière asynchrone. La synchronisation dépend de la classe de l'appareils, qui est détaillé dans la section topologie. C'est un avantage pour maintenir une grande autonomie de batterie pour les appareils. LoraWan possède un système pour limiter les collision entre message si plusieurs appareils communiquent simultanément. Ce système est basé sur une combinaison entre *Listen before talk* LBT et des délais aléatoires (citer papier). Il est néanmoins possible que dans un environnement très dense des collisions puisse encore se produire. La communications asynchrone et le système d'évitement de collision entraine une augmentation du temps entre les envois et la réception de message.

Topologie de LoraWan

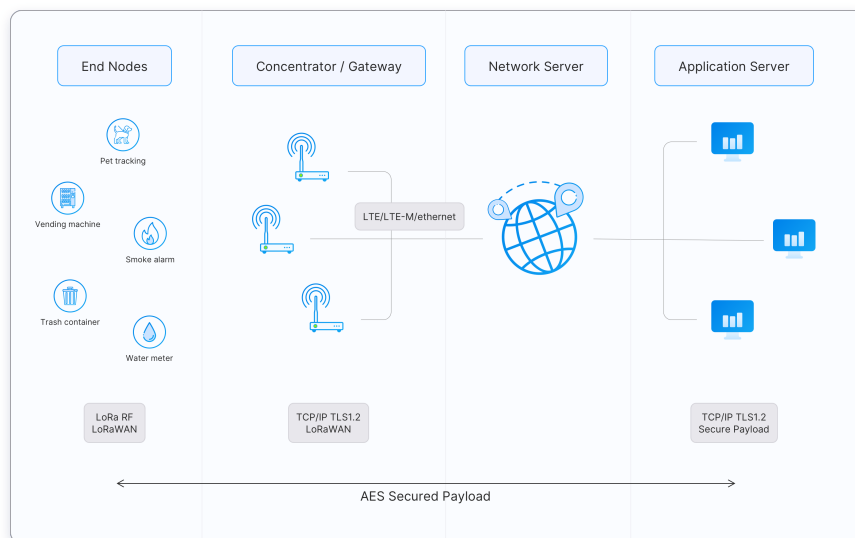


FIGURE 1.4 – Topologie de l'infrastructure LoraWan

La figure 4 montre les 4 types d'appareils qui composent la topologie d'un infrastructure LoraWan.

Les end devices sont les noeuds qui collectent les informations à envoyer à travers le réseau. Ils sont catégorisés en trois sous classes : A, B et C. Les appareils de classe A sont les plus économe en énergie. Ils ont été créés pour conserver

leur énergie et communique exclusivement en communication asynchrone. Les appareils de classe A écoutent les messages provenant des serveurs uniquement après avoir eux-mêmes transmis un message. La classe A regroupe les appareils les moins énergivores. Les appareils de classe B sont assez similaires avec ceux de classe A, mais sont occasionnellement synchronisés avec les serveurs du réseau. Ils possèdent des capacités supérieures de réception leur permettant de se synchroniser avec le calendrier des serveurs, ce qui augmente considérablement l'efficacité du temps de réponses dans le réseau. Finalement, les appareils de classe C sont en écoute permanente de messages provenant des serveurs. Ils sont plus réactifs mais également les plus énergivores. Les end devices sont donc classés selon deux paramètres : leur réactivité et leur consommation d'énergie. En fonction de leur classe, ils ont également la possibilité de recevoir des messages des serveurs après avoir transmis de l'information. L'envoi d'un message d'un end device vers les serveurs est appelé *uplink message* et l'envoi d'un message depuis les serveurs vers les end devices est appelée *downlink message*.

Les gateways jouent le rôle d'intermédiaire entre les end devices et le serveur réseau. Ils reçoivent les transmissions depuis les end devices dans leur zone de couverture et forward les messages vers le serveur réseau. Les gateways peuvent écouter plusieurs fréquences simultanément (*multichanneling*) là où les end devices n'écoutent qu'une seule fréquence. Les gateways gèrent la communication radio avec les end devices en utilisant la modulation de LoRa.

Le serveur réseau est la composante centrale de l'infrastructure. Il gère tout le réseau, que ce soit les données reçues des gateways, l'identification et l'activation des end devices dans le réseau, le routing ou encore l'adaptation du data rate. Le serveur réseau supervise également l'aspect sécurité au sein du réseau en gérant les clés de chiffrement et les protocoles de sécurité.

Le serveur application de LoraWan reçoit les données forwardées depuis le serveur réseau. C'est l'interface entre le réseau de LoraWan et les différents services ou applications d'utilisateurs finaux. Les utilisateurs interagissent avec le serveur d'application pour n'importe quelle action à effectuer sur le réseau ou pour la récupération de données du réseau. Les données reçues par le serveur réseau sont traduites par le serveur d'application avant d'être interprétées par l'utilisateur final.

Sécurité

La sécurité dans l'architecture LoraWan se concentre sur trois axes principaux :

- l'authentification : qui communique avec qui.
- L'intégrité : les données ne sont pas altérées entre l'émetteur et le receveur.

- La confidentialité : les données ne sont visible par personne au sein du réseau hormi l'émetteur et le récepteur.

La sécurité repose sur le chiffage des données. Les données sont chiffrés en utilisant l'algorithme de cryptographie AES (*advanced encryption standart*). La taille des clefs est de 128 bits. Ce choix est motivés par un équilibre entre une sécurité suffisante et une consommation réduire de ressources.

Il y a deux types de clefs utilisée dans LoraWan. La *root key* est la clé partagée entre un end device et le serveur réseau. Cette cle est utilisée pour l'authentification initiale et l'établissement d'une communication entre les deux éléments du réseau. Cette clé n'est jamais transmise par les air, elle est stockée dans un *join server*. Un join server est un server dédié au contenu sensible à l'activation du matériel dans un réseau LoRaWAN. Il authentifie le réseau et les application du servers. Il gère les root keys. il génère également le second type de clés de LoraWan, les *session keys*.

Les session keys sont des clé générée dynamiquement par le join server et utilisé durant l'échnage de donnée pendant une session. Il y a deux session key différente, la *AppSKEY* pour le chiffage des payload d'application, et la *nwkSKEY* pour les fonctionnalités du réseau (le chiffage à la couche MAC, les vérification d'intégrité, etc).

Session

L'établissement d'une session entre un end devices et le réseau LoraWan peut se faire de deux façons différentes.

La première méthode est une méthode dynamique appelée *Over the Air Activation* ou OTAA et se déroule de la façon suivante :

- Le device possède initialement deux indentificateurs, un DevEUI et un appEUI.
- La requête pour rejoindre le réseau est initiée par le end device. Il en envoi un message *join request* au serveur réseau. La join request contient ses identificateurs, ainsi qu'un nombre aléatoire généré par le device.
- Le serveur réseau accepte (ou décline) la requête et vérifie les identifia-teurs du device dans ses enregistrements.
- le server génère ensuite un nombre aléatoire appelé *DevNonce* et renvoyer un message *join accept* contenant le DevNonce, l'adresse du devices ainsi que les clefs (NwkSKey et appSKey) de session.
- le en devices reçoit le message join accept. Il extrait les clefs envoyé et calcule ses propres clefs de session avec ses paramètres (les clefs envoyé par le join server ainsi que le devNonce).
- le device fait maintenant parti du réseau. Chaque message que le device va envoyer au serveur sera chiffré avec ses clefs.

La seconde méthode est hardcodé et permet à un end devices de rejoindre directement le réseau sans passer par l'indentification. cette méthode est appelée *activation by personalisation* ou ABP. Voici la procédure de la session :

- Le device possède à l'avance son adresse ainsi que ses clefs de session.
- Le device est déployé au préalable dans la zone de couverture du réseau LoraWan.
- Sans devoir itinialiser de procedure *join request*, le end devices transmet directement ses données au serveur en utilisant ses clefs préconfigurées. L'échange de clef avec le serveur n'a pas lieu.

Cette seconde procédure a comme avantage d'être plus rapide à exécuter car toute la partie d'initialisation est passée. Le processus d'initialisation peut être contraignant en ressource ce qui rend la méthode ABP moins énergivore. Cependant l'utilisation de clef hardcodée directement dans les devices est une pratique moins sécuritaire. Comme pour la taille de clefs, il y a un équilibre entre consommation d'énergie et sécurité.

Chapitre 2

Travaux similaires et autres contributions

Ce chapitre a pour but d'établir un état de l'art dans le domaine de l'internet of things. Comme l'iot est très vaste, seulement certains aspects seront présentés. Tout d'abords, il est important de comprendre que la sécurité dans ce domaine a évoluer autant bien par ces méthodes que par son importance, ainsi un historique est présenté dans la première section du chapitre. Ensuite, la seconde section se concentre uniquement sur la technologie Lora. Cette section donne une approche analytique de signaux. Finalement, la dernière partie de ce chapitre se consacre aux approches existante pour l'identification d'appareils utilisant Lora. Cette section présentera les travaux qui sont au centre des expérimentations de ce travail.

2.1 identification de device dans l'iot

Avant de s'intéresser à l'identification d'appareil Lora, il est nécessaire d'étendre ce concept à l'iot. L'internet of things a connu une forte évolution depuis les début des années 2000, avec des priorités dans son évolution qui ont également changé au fil du temps.

2.1.1 historique et évolution des préoccupations de sécurité dans l'iot

Afin de bien comprendre les enjeux des différentes époques, voici un petit historique des deux décennies précédentes. Les technologies mais également le concept même d'internet of things ont évolué.

Les premières années de l'iot (2000) Bien que le concept d'appareils connectés remonte aux années 70, l'avènement de l'internet of things arrive en fin de millénaire.

Ce concept est associé à la technologie RFID *Radio Frequency Identification*, qui permet d'utiliser les ondes radios afin d'identifier des objets ou des personnes. Le but initial était de rendre tout objet dans le monde identifiable par un code EPC ou *Electronic Product Code*, un peu comme le code barre. Durant ses années, plusieurs entreprises lancent leur première appareils connectés. Tout cet enthousiasme pour la connectivité met au second plan les questions de sécurité. Ainsi la première partie du développement de l'iot se concentre surtout sur la qualité de communication entre les objets plutôt que sur leur sécurité.

Les premières préoccupations sécuritaire (2010s) Vers la fin des années 2000, l'augmentation du nombre d'appareils est si grande qu'elle a atteint tous les domaines de la société. Certains domaines étant plus critique que d'autre d'un point de vue sécurité (l'énergie, les transports, la santé, etc), l'intégrité des données, la confidentialité et les accès réseaux deviennent le centre de l'attention. Le concept de certificats x.509, initialement développé pour le world wide web avant les années 2000, a un regain d'attention dans cette période. Plus largement la structure de la technologie PKI (*Public Key infrastructure*, qui utilise les certificats x.509) a été adaptée pour s'intégrer aux problématiques de l'embarqué. Un certificat est un document digital permettant de vérifier d'identité d'une entité, comme d'un appareil, un utilisateur ou une organisation. Il se base sur la liaison d'une clé public à l'entité établie par une *Certificate Authority* ou CA. La CA agit en temps de tier de confiance et assure la légitimité de l'information grâce au certificat. Ainsi, les trois axes principaux de la sécurité dans l'iot émergent : l'authentification, l'intégrité des données et la confidentialité.

L'avènement du *edge computing* (année 2010-2020). Le nombre d'appareils connecté dépassé le nombre d'humains, forçant une transition vers l'ipv6 tant le nombre d'appareils est élevé et continue d'augmenter. L'information a pris de la valeur, et de l'ampleur. Ainsi, viens se greffer de nouveau enjeux économiques en plus des enjeux sécuritaires. La quantité de donnée générée nécessitent de revoir le stockage de l'information. C'est ainsi que va apparaître le Edge computing, qui est un réponse directe aux besoin des architecture de gérer autant de données en périphérie de réseau. Le concept du edge computing vise à effectuer des calculs et des analyses des données directement sur les appareils connectés, plutôt que de les envoyer vers un centre de données centralisé. Cela réduit la latence, améliore l'efficacité du réseau et permet des analyses en temps réel. Le premier malware spécialement centré sur l'iot fait son apparition. Mirai exploite une faille lui permettant de récupérer le mots de passe d'appareils afin de s'en servir pour lancer des attacks DDoS *distributed denial of service* à grande échelle. En quelque année l'iot est passé d'un gadget d'entreprise à un véritable enjeux économique et sécuritaire, centré autour de l'information. Les seules perspectives de législation concernant la sécurité de l'internet of thing n'apparaîtront de tradivement en fin de décennies avec La loi européenne sur le *Règlement générale sur la protection des*

données. cette loi ne couvre pas la sécurité des appareils mais plutôt l'utilisation des données sur internet en général.

L'apparition de la *blockchain* (fin année 2010) De nouvelles préoccupations apparaissent dans l'iot et certaines sont encore renforcées par les menaces toujours plus sophistiquées. Le stockage et la transmission de données, l'authentification d'appareils ou encore la confidentialité sont au centre des préoccupations. Une technologie initialement utilisée pour les cryptomonnaies va se développer dans l'iot, la blockchain.

zero trust model (2020) les menaces de sécurité de plus en plus sophistiquées, apparition d'un modèle basé sur l'absence totale de confiance. mécanisme d'authentification basé sur ce principe ont été explorés.

considération de calcul quantique (futur ?) les méthodes de chiffrement mathématiques seront inefficaces à l'arrivée des ordinateurs quantiques, besoin de nouvelles solutions sur des algorithmes quantiques.

2.1.2 approches d'identification dans l'iot

résultats des préoccupations citées, méthodes qui en sont ressorties et qui ont été utilisées ou le sont encore.

piste : RSSI, TCP fingerprinting, traffic related patterns (behaviour, power consumption, packet timing)

2.2 analyse de signaux lora

différents travaux sur comment interpréter un signal. des analyses des différentes composantes du signal

2.3 identification de device lora

radio frequency fingerprinting identification (RFFI). trouver des caractéristiques hardware pour identifier des devices. article sur les méthodes de constellations traces article sur les spectrogrammes.

Chapitre 3

Expérimentations

3.1 Matériel

3.1.1 radio logicielle

La radio logicielle (*SDR*, pour *Software-DefinedRadio*) est une technologie qui permet de mettre en œuvre des systèmes de radio à l'aide de logiciels plutôt que de matériel.

Dans les systèmes de radio traditionnels, les différentes fonctions de la radio, comme l'accord sur une fréquence spécifique, la modulation et la démodulation du signal, et le filtrage du bruit, sont mises en œuvre à l'aide de composants matériels tels que des oscillateurs, des amplificateurs et des filtres. En revanche, les systèmes SDR utilisent des logiciels pour effectuer ces fonctions, ce qui les rends beaucoup plus flexible car chaque composante est reconfigurable. Les radios logicielle sont capable d'opérer sur une large portée de fréquence, aussi bien très basse fréquence comme haute fréquence. Les *SDR* peuvent jouer le rôle d'émetteur ou de récepteur voir les deux.

RTL-SDR

La première radio utilisée comme récepteur. possède différentes composantes :
 rtl2832U : digitalise les signaux RF et les envoie à l'ordinateur. Tuner chip : le tuner permet d'ajuster la fréquence. Grâce à ça la sdr peut couvrir une large portée. port usb : pour raccorder la sdr à l'ordinateur.

hackRf

autre radio logicielle. plus (cher et) complète. meilleure qualité de signal que les rtl-sdr "classiques".

3.1.2 Module d'émission Lora

module RN2483

Le microchip RN2483 est un module de technologie spécifique à LoRa. Cet appareil permet de communiquer à longue portée et à faible consommation grâce à l'utilisation de la modulation basée sur LoRa.

quelques spécificités du module :

technologie LoRa faible puissance (idéale pour de l'IoT car faible consommation) fréquence à 433, 868 et 915MHz (regarder la région adéquate) AT command : configurable via un set de commande compatible avec le protocole LoRa-WAN pour établir ou rejoindre ce type de réseau.

fonctionne par entrée de commande (aucun retour écran donc aucune faute possible)

différentes commandes/ utilisation :

sys get ver : demande la version du module, reçoit en réponse radio set (param) (value) : ajuste le paramètre pour l'adapter à la valeur souhaitée.

pycom fipy

besoin d'un environnement python, qq configuration nécessaire.

module arduino

besoin d'un IDE arduino, possibilité de configurer une largeur de bande bien plus faible que pour les autres modules, très pratique pour analyser le signal en détail.

3.1.3 logiciel

GNU radio

GNU Radio est un toolkit qui permet de créer des flux de traitement de signal en utilisant des blocs prédéfinis. Ces blocs peuvent être combinés pour créer des chaînes de traitement de signal pour simuler des modulations CSS, capturer des signaux et en extraire des séquences de chirp.

gqrx

logiciel open source d'analyse de fréquence radio pour les SDR.

installer gqrx via apt. (ubuntu)

sélectionner le périphérique pour analyse

image choix périphérique

visualisation du spectre

deux forme d'affichage, en spectre et en cascade.

L'affichage du spectre fournit une représentation graphique en temps réel du spectre RF sur une gamme de fréquences. Il montre la puissance du signal de différentes fréquences sur une plage de fréquences spécifiée. L'axe des x représente la fréquence, tandis que l'axe des y affiche la force du signal (mesurée en dB).

L'affichage en cascade est un spectrogramme qui visualise la force du signal au fil du temps. Il montre une série d'instantanés de spectre empilés les uns sur les autres, où l'intensité de la couleur représente la force du signal. Chaque ligne horizontale du tracé en cascade représente une vue du spectre capturée à un moment précis, créant ainsi un enregistrement historique de l'activité du signal. L'axe vertical représente la fréquence et l'axe horizontal représente le temps.

image affichage spectre

configuration de la réception :

input control (pas trop touché)

FFt settings : très important règle la ff size, le rafraichissement d'image. le laps de temps. l'averaging

Le paramètre Panadapter dB fait référence à l'échelle verticale dans la vue du spectre. Il représente la force du signal des fréquences radio reçues affichées sur l'axe vertical du graphique du spectre. Le réglage du paramètre Panadapter dB modifie l'échelle verticale de la force du signal affichée dans la vue du spectre.

Le paramètre Waterfall dB concerne l'intensité de la couleur ou l'ombrage des fréquences affichées dans le tracé en cascade. Le réglage du paramètre Waterfall dB modifie l'intensité utilisée pour afficher la force du signal dans le tracé en cascade, permettant ainsi d'ajuster le contraste ou la visibilité des signaux plus faibles ou plus forts.

Universal radio hacker, URH

logiciel open source. similaire à gqrx pour fonction d'analyse du signal. Il est possible de visualiser les signaux de manières analogique, démodulé, en spectrogramme ou en vue I/Q. Il est possible de découper les signaux, notamment pour supprimer les parties "vides" dans les enregistrements. Possibilité de sauvegarder des signaux enregistré dans des fichiers. Urh supporte différents formats pour les signaux :

.complex files with complex64 samples (32 Bit float for I and Q, respectively). This is the default signal file format.

.complex16u using two unsigned 8 Bit integers for I and Q

.complex16s using two signed 8 Bit integers for I and Q

.complex32u using two unsigned 16 Bit integers for I and Q (since v2.7)

.complex32s using two signed 16 Bit integers for I and Q (since v2.7).

Il est également possible de lire des fichiers de données qui n'ont pas été enregistré avec URH tant qu'ils sont dans les formats supportés.

3.2 Librairie python

utilisation de python : pourquoi ? librairie très utile dans le domaine comme NumPy, Pandas, Scikit-learn, PyCM et FiPy. librairie compatible avec la sauvegarde et l'utilisation des données. Bonne documentation notamment sur les formats des nombres complexes. Capacités pour le machine learning. Utilisation de diverses algorithmes comme kmeans déjà implémenté dans des librairies. Intégration avec des modules, la librairie fipy gère l'un des modules utilisé pour les expérimentations.

numpy : pour complexe conjugué matplotlib : pour les plot des diagrammes
datashader : pour la coloration du diagramme de constellations

3.3 Génération et réception d'un signal LoRa

dans un premier temps les signaux sont générés manuellement sans automatisation, le but étant de reconnaître et d'analyser la structure d'un signal Lora.

script pour générer un signal depuis un module (soit rn, soit fipy, soit arduino) Il faut paramétrer la largeur de bande, le CR, le spreading factor, la fréquence d'émission (fixé à 868Mhz dans la région europe), le type de modulation (Lora ...)

Ensuite pour la réception, lancer un logiciel d'écoute comme gqrx ou urh. Sélectionner la sdr connecté à l'ordinateur (rtl sdr ou hackrf). Il faut configurer également l'échantillonnage, soit la quantité d'échantillons qui vont être lus chaque seconde. Il faut ajuster la fréquence d'écoute.

3.3.1 analyse du signal

affichage du signal capturé, d'abord sous forme analogique, puis en spectrogramme. Décomposition du signal, on observe des "chirps". En analogique, augmentation de la fréquence (upchirp) et diminution de la fréquence (downchirp). En spectrogramme, augmentation est plus visuelle encore, on voit de manière nette les chirps.

Dans le signal, on reconnaît donc le préambule du signal composé de 10 upchirps et 2 downchirps (selon la théorie). Attention, la fréquence d'écoute des sdr ne doit pas être exactement à 868Mhz. En effet, voilà à quoi ressemble si la fréquence d'écoute est la même que la fréquence d'émission. Il faut prendre en compte la largeur de bande du signal, dans le cas où le signal a une largeur de bande de 125KHz, il faut décaler la fréquence d'écoute pour recentrer le signal,

ainsi on évite d'avoir des fréquences qui sont interprétées comme "négatives" par URH. Dans la figure, la fréquence est décalée de 125/2 soit 867,935Mhz.

3.3.2 automatisisation du signal

Dans un second temps, besoin d'automatiser la génération et l'enregistrement des signaux, car il va falloir en générer un grand nombre pour les méthodes d'indentifications. La première étape consiste à éditer le script pour que la configuration des paramètres soit faite au préalable. Ensuite, sans devoir passer par un logiciel d'écoute, il faut sauvegarder le signal. La librairie RTL-SDR de python permet de configurer la rtl sdr sans devoir passer gqrx ou URH. Il est alors possible avec juste un script python d'écouter et d'enregistrer un signal radio. Il faut ajouter au script une méthode qui supprime dans la partie sauvegardée la section ne comportant pas le signal.

3.4 Méthode "Constellation traces"

objectif, identification du device via son frequency offset.

selon l'article (citer article), possible de performer la méthode soit uniquement sur le préambule, soit sur l'intégralité du signal.

idée : le received signal contient le baseband signal ainsi qu'un rotation factor instable. pour pouvoir recover cette partie du signal, besoin d'effectuer une opération différentielle suivante :

$$x(t).x(t+n)e^{-j2\pi n}$$

apparition d'un nouveau rotation factor, mais stable. Besoin de trouver deux inconnues,

textitdelta f et n. n est le differential interval. il se calcule de la manière suivante :

$$R_s = BW/2sf$$

$$N = f_s/R_s$$

delta f est la difference entre le transmitter carrier frequency et le receiver carrier frequency.

application : récupérer les samples I/Q du signal n ayant au préalable "clean" le signal. utilisation d'un gradient pour observer la densité sur le plot. normalement des zones plus denses apparaissent. coloration : utilisation de la librairie data shader.

clustering, le but de conserver les parties les plus denses (95 pourcent du point le plus dense) plot avec les différents appareils.

Chapitre 4

Résultats

4.1 Méthode des constellations Traces

4.1.1 paramétrage

3 modules lora
module rn2483
module pycom fipy
module arduino
paramètres d'émission : SF = 7, BW = 125, Freq = 868Mhz, CR = 4/5, mod
= Lora
plot des DCTF (differential constellation traces figure)

4.1.2 training phase

during the training phase, you use differential constellation trace figures (DCTFs) from different modules. The objective is to identify clusters in these figures and learn the characteristics of each module.

4.1.3 testing phase

In your case, during the testing phase, you have new DCTFs from modules that the model has not seen during training. The model uses what it learned to predict the category or cluster for each DCTF.

4.1.4 résultats

Annexe A

Première annexe

Annexe B

Deuxième annexe